



**MONITORING GEODYNAMICZNY POLSKI
PAŃSTWOWA SŁUŻBA GEOLOGICZNA**

**PAŃSTWOWY INSTYTUT GEOLOGICZNY
PAŃSTWOWY INSTYTUT BADAWCZY**

RAPORT MIESIĘCZNY nr 05/2026

ZA OKRES OD 01/05/2026 DO 31/05/2026 ROK

(MAJ 2026)

Zawartość raportu:

Karta informacyjna – Aktywność sejsmiczna w maju 2026 i okresie ostatnich 12 miesięcy: Polska, Europa, świat.

1. Monitoring aktywności sejsmicznej na obszarze Polski i w strefach przygranicznych
2. Aktywność sejsmiczna na kontynencie europejskim i w skali globalnej (wg danych EMSC)
3. Monitoring zmian pionowej składowej przyspieszenia siły ciężkości
4. Dodatek – poradnik
5. Lista załączników

realizacja projektu Monitoring Geodynamiczny Polski – etap V (MGP-V)

**WYKONANO NA ZAMÓWIENIE MINISTRA KLIMATU I ŚRODOWISKA
ZA ŚRODKI FINANSOWE WYPŁACONE
PRZEZ NARODOWY FUNDUSZ OCHRONY ŚRODOWISKA I GOSPODARKI WODNEJ**



**Ministerstwo
Klimatu i Środowiska**



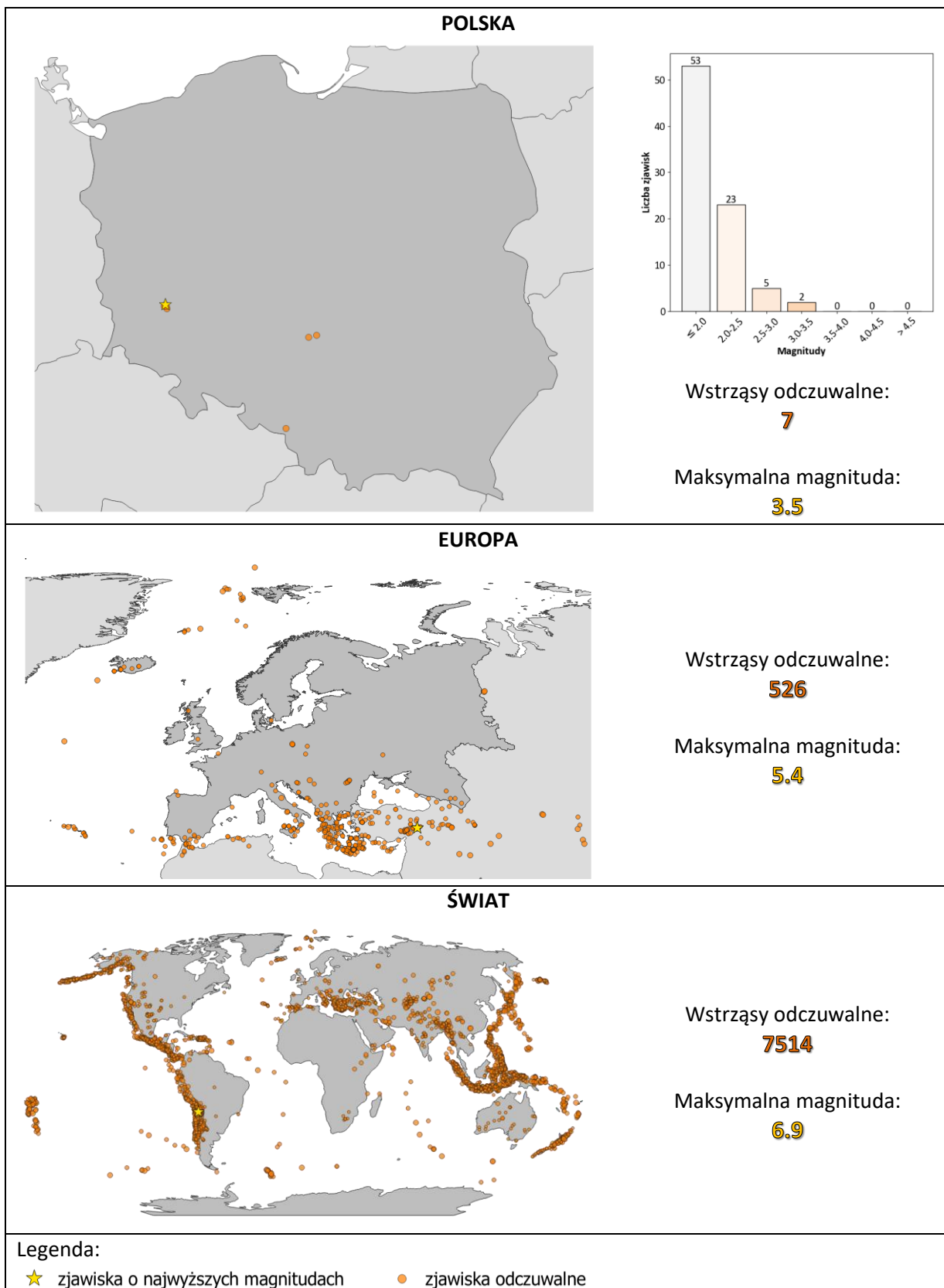
**NARODOWY FUNDUSZ
OCHRONY ŚRODOWISKA
i GOSPODARKI WODNEJ**

Warszawa 01/06/2026 r.

KARTA INFORMACYJNA RAPORTU

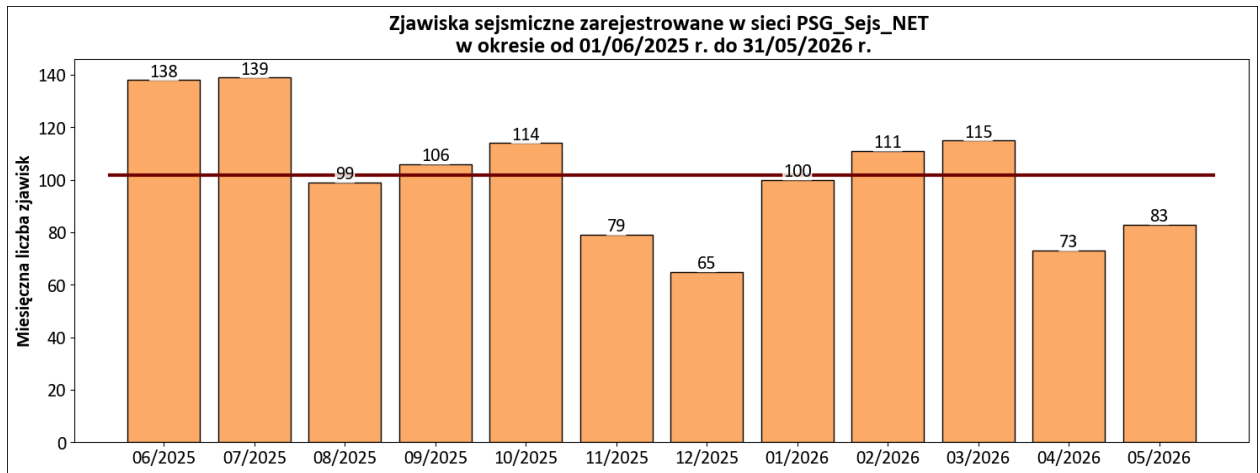
Aktywność sejsmiczna w sieci PSG Sejs NET oraz bazie danych EMSC

maj 2026: Polska, Europa, świat

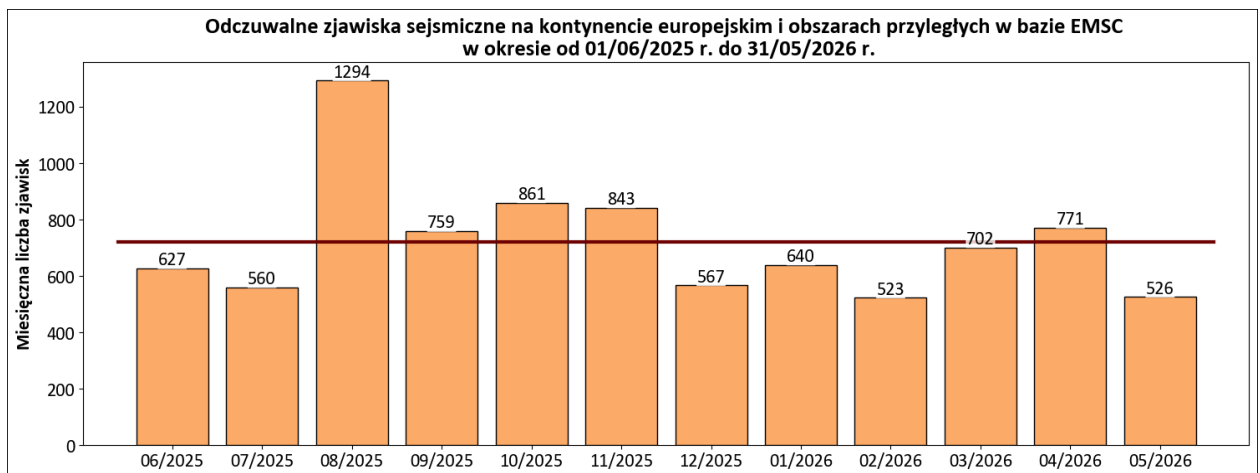


Wyniki monitoringu aktywności sejsmicznej mierzonej miesięczną liczebnością zidentyfikowanych zjawisk sejsmicznych w sieci PSG_Sejs_NET oraz bazie danych EMSC w okresie ostatnich 12 miesięcy (czerwiec 2025 – maj 2026 r.).

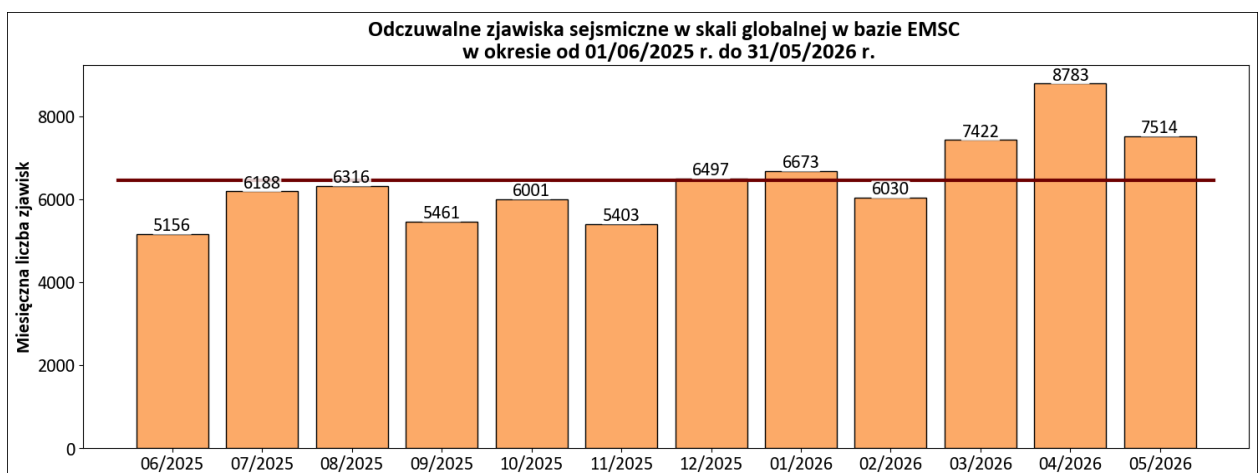
POLSKA



EUROPA



ŚWIAT



Legenda:

— średnia miesięczna liczebność w okresie ostatnich 12 miesięcy

1. MONITORING AKTYWNOŚCI SEJSMICZNEJ NA OBSZARZE POLSKI I STREFIE PRZYGRANICZNEJ.

1.1. Sieć monitoringu aktywności sejsmicznej państwowej służby geologicznej – PSG_Sejs_NET.

Sieć monitoringu aktywności sejsmicznej państwowej służby geologicznej jest stale rozwijana i optymalizowana. W maju 2026 r. w sieci PSG_Sejs_NET funkcjonowało 35 stacji sejsmicznych. Wśród nich są 33 stacje mobilne, wykorzystujące sejsmometry krótkookresowe i 2 stacje szerokopasmowe zainstalowane w stałych, terenowych laboratoriach geodynamicznych PSG w miejscowościach Dziwie, gm. Przedecz w powiecie kolskim oraz w Hołowni, gm. Podedwórze w powiecie parczewskim.

Do wykrywania i lokalizowania zjawisk sejsmicznych na terenie kraju, do sieci PSG_Sejs_NET zostało włączonych również 12 stacji mobilnych lokalnej Sudeckiej Sieci Sejsmologicznej (S9) utworzonej w ramach poprzedniego etapu projektu – MGP-IV. Ponadto do opracowań wykorzystywane są dane o otwartym dostępie z Polskiej Sieci Sejsmologicznej PLSN¹², z sieci MOravia NETwork (MONET)³, wybranych stacji: Czeskiej Regionalnej Sieci Sejsmologicznej CRSN⁴, Niemieckiej Regionalnej Sieci Sejsmologicznej GRSN⁵, GEOFON⁶, Słowackiej Narodowej Sieci Sejsmologicznej⁷.

Docelowo monitoring sejsmiczny oparty będzie na 50 punktach obserwacyjnych PSG, przy zachowaniu takiej topologii sieci, która zagwarantuje zdolność detekcji naturalnych zjawisk sejsmicznych oraz zjawisk pochodzenia antropogenicznego na terytorium całego kraju, ze szczególnym uwzględnieniem obszarów podwyższonego ryzyka sejsmicznego.

Mapa lokalizacji stanowisk monitoringu sejsmicznego sieci PSG_Sejs_NET wraz z lokalizacjami stacji innych sieci, z których dane wykorzystywane są do wykonywanych opracowań przedstawiona została na **Rys 1**.

¹Rudziński, Łukasz & Lasocki, Stanisław & Orlecka-Sikora, Beata & Wiszniowski, Jan & Olszewska, Dorota & Kokowski, Jakub & Mirek, Janusz. (2021). Integrating Data under the European Plate Observing System from the Regional and Selected Local Seismic Networks in Poland. *Seismological Research Letters*. 92. 1717-1725. 10.1785/0220200354

²Institute of Geophysics, Polish Academy of Sciences. (1990). Polish Seismological Network [Data set]. International Federation of Digital Seismograph Networks. 10.7914/90rh-0q80

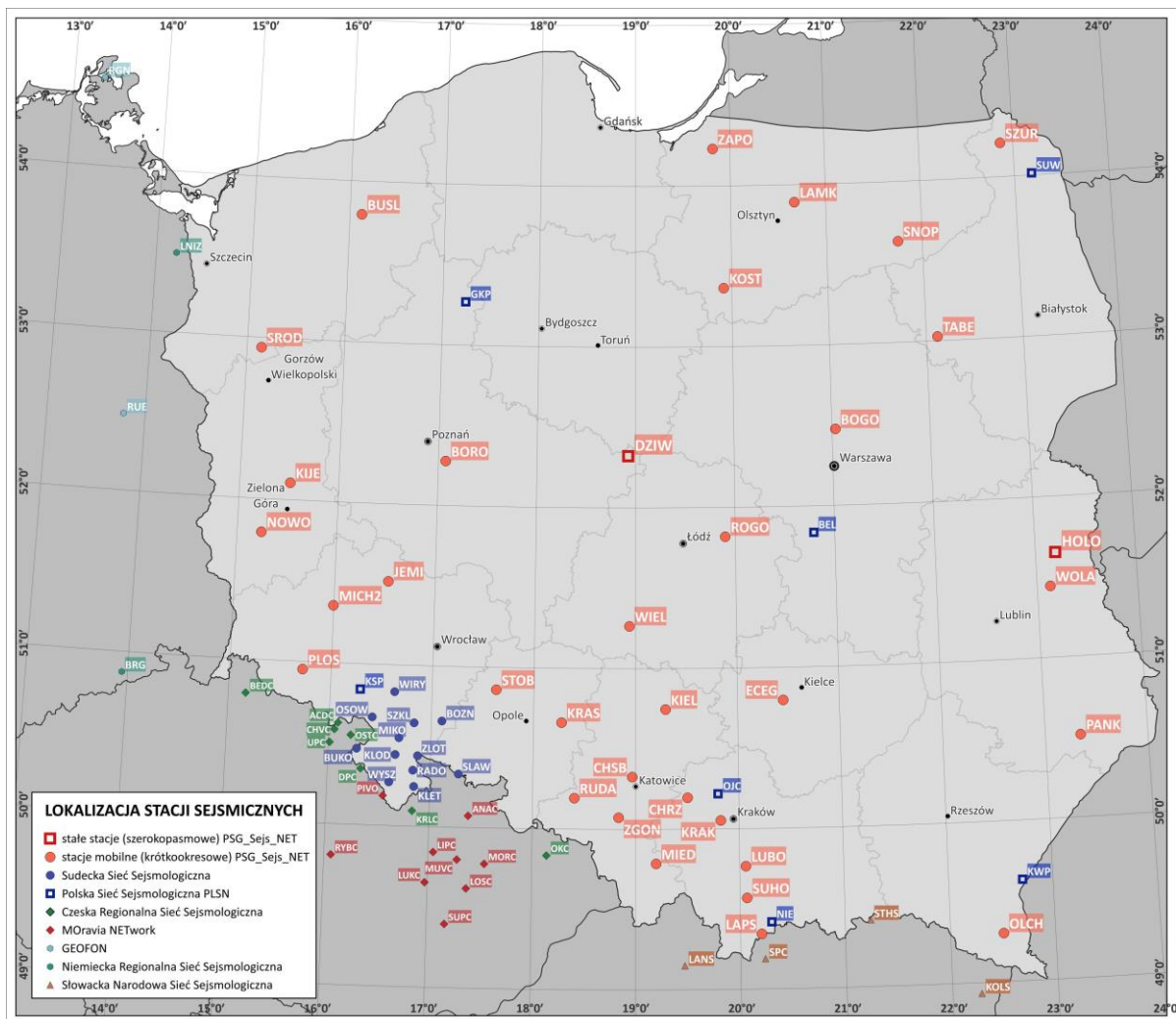
³Institute Of Physics Of The Earth Masaryk University Brno (IPE). (2017). MOravia NETwork (MONET) [Data set]. GFZ Data Services. <https://doi.org/10.14470/Z6115722>

⁴Charles University in Prague (Czech), Institute of Geonics, Institute of Geophysics, Academy of Sciences of the Czech Republic, Institute of Physics of the Earth Masaryk University (Czech), & Institute of Rock Structure and Mechanics. (1973). Czech Regional Seismic Network [Data set]. International Federation of Digital Seismograph Networks. <https://doi.org/10.7914/SN/CZ>

⁵Federal Institute for Geosciences and Natural Resources. (1976). German Regional Seismic Network (GRSN). Bundesanstalt für Geowissenschaften und Rohstoffe. <https://doi.org/10.25928/mbx6-hr74>

⁶GEOFON Data Centre. (1993). *GEOFON Seismic Network* [Data set]. GFZ Data Services. <https://doi.org/10.14470/TR560404>

⁷ESI SAS; Former GPI SAS (Geophysical Institute Of The Slovak Academy Of Sciences). (2004). National Network of Seismic Stations of Slovakia [Data set]. GFZ Data Services. <https://doi.org/10.14470/FX099882>



Rys. 1. Mapa lokalizacji stacji sejsmicznych w sieci PSG_Sejs_NET wraz z lokalizacjami stacji innych sieci wykorzystywanych do opracowań (status aktualności 31/05/2026 r.).

1.2. Lokalne zjawiska sejsmiczne zarejestrowane na terytorium Polski oraz w strefie przygranicznej w maju 2026 r. w sieci PSG_Sejs_NET

W maju 2026 r. państwowa służba geologiczna zarejestrowała **83** lokalnych zjawisk sejsmicznych na terenie Polski oraz w strefie przygranicznej. Były to zjawiska o zróżnicowanej magnitudzie od **M1.2** do **M3.5**. Epicentra zjawisk zlokalizowane były w rejonach: Górnośląskiego Zagłębia Węglowego (GZW), Legnicko-Głogowskiego Okręgu Miedziowego (LGOM) oraz KWB Bełchatów. Lokalizacja zidentyfikowanych wstrząsów przedstawiona została na mapach **zał. 1** (epicentra zjawisk bieżących – maj 2026) i **zał. 2** (epicentra zjawisk zidentyfikowanych od 01/01/2025 r. narastająco, w trakcie realizacji V etapu projektu MGP).

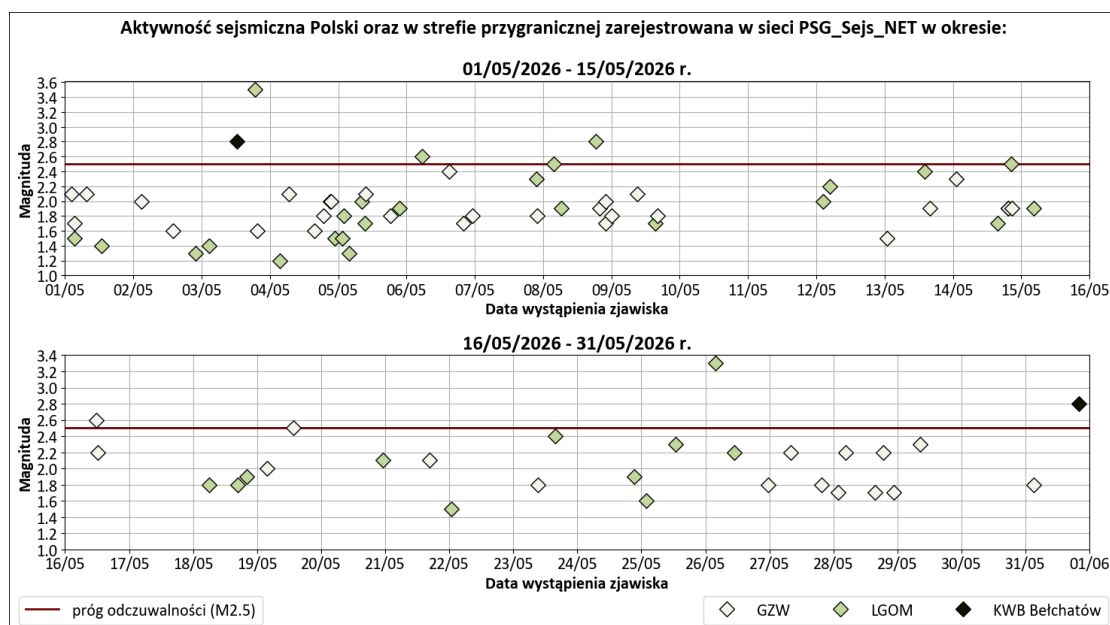
Wykaz zidentyfikowanych i zweryfikowanych zjawisk sejsmicznych, które wystąpiły w maju br. na terenie Polski oraz w strefie przygranicznej przedstawiono w tabeli (**Tab. 1**).

Tab. 1. Lista zjawisk sejsmicznych zarejestrowanych w sieci PSG_Sejs_NET na terenie Polski oraz w strefie przygranicznej w okresie od 01/05/2026 do 31/05/2026 r.

Lp.	Data & Czas (UTC)	Szer. geogr. [°]	Dług. geogr. [°]	Głęb. ogniska [km]	Mag.	Region
1	2026-05-01 02:21:07	50.20	19.02	1	2.1	GZW
2	2026-05-01 03:14:12	51.43	16.18	1	1.5	LGOM
3	2026-05-01 03:21:48	50.21	18.84	1	1.7	GZW
4	2026-05-01 07:34:37	50.25	18.72	1	2.1	GZW
5	2026-05-01 12:50:12	51.53	16.05	3.1	1.4	LGOM
6	2026-05-02 02:54:20	50.21	18.97	2.7	2.0	GZW
7	2026-05-02 13:57:20	50.21	19.09	1	1.6	GZW
8	2026-05-02 21:54:40	51.41	16.22	1	1.3	LGOM
9	2026-05-03 02:34:46	51.42	16.21	1	1.4	LGOM
10	2026-05-03 12:18:09	51.18	19.05	1.3	2.8	KWB Bełchatów
11	2026-05-03 18:38:48	51.57	16.07	1	3.5	LGOM
12	2026-05-03 19:30:42	50.24	18.85	1	1.6	GZW
13	2026-05-04 03:25:32	51.56	16.15	1	1.2	LGOM
14	2026-05-04 06:34:01	50.16	18.63	1	2.1	GZW
15	2026-05-04 15:36:26	50.24	18.86	1	1.6	GZW
16	2026-05-04 18:50:10	50.24	18.82	1.9	1.8	GZW
17	2026-05-04 21:17:12	51.54	16.16	1	2.0	LGOM
18	2026-05-04 21:34:44	50.18	18.97	3.7	2.0	GZW
19	2026-05-04 22:47:40	51.56	16.08	1	1.5	LGOM
20	2026-05-05 01:25:06	51.54	16.06	1	1.5	LGOM
21	2026-05-05 01:57:48	51.40	16.21	1	1.8	LGOM
22	2026-05-05 03:45:30	51.46	16.12	1	1.3	LGOM
23	2026-05-05 08:12:15	51.51	16.10	3.5	2.0	LGOM
24	2026-05-05 09:22:48	51.38	16.24	1	1.7	LGOM
25	2026-05-05 09:35:09	50.09	19.32	1	2.1	GZW
26	2026-05-05 18:14:15	49.95	18.61	1	1.8	GZW
27	2026-05-05 21:37:57	51.42	16.22	1	1.9	LGOM
28	2026-05-06 05:22:00	51.52	16.10	1	2.6	LGOM
29	2026-05-06 15:00:35	50.22	18.85	1.4	2.4	GZW
30	2026-05-06 20:07:51	50.22	18.80	1	1.7	GZW
31	2026-05-06 23:07:05	50.11	19.33	1	1.8	GZW
32	2026-05-07 21:39:35	51.57	16.07	1	2.3	LGOM
33	2026-05-07 21:50:00	50.09	19.28	1	1.8	GZW
34	2026-05-08 03:43:55	51.45	16.16	1	2.5	LGOM
35	2026-05-08 06:28:45	51.52	16.07	0.5	1.9	LGOM
36	2026-05-08 18:35:15	51.54	16.05	0.2	2.8	LGOM
37	2026-05-08 19:58:06	50.07	19.25	1	1.9	GZW
38	2026-05-08 21:56:34	50.05	18.45	1	1.7	GZW
39	2026-05-08 22:02:49	50.19	18.99	1	2.0	GZW
40	2026-05-08 23:59:40	50.24	18.85	1	1.8	GZW
41	2026-05-09 09:11:10	50.05	18.46	3.2	2.1	GZW
42	2026-05-09 15:27:11	51.43	16.06	3.3	1.7	LGOM
43	2026-05-09 16:14:00	50.18	18.98	1.9	1.8	GZW
44	2026-05-12 02:14:54	51.49	16.10	0.6	2.0	LGOM
45	2026-05-12 04:37:56	51.52	16.05	1	2.2	LGOM
46	2026-05-13 00:54:25	50.23	18.84	3.7	1.5	GZW
47	2026-05-13 14:02:35	51.51	16.09	1	2.4	LGOM
48	2026-05-13 15:48:25	50.12	19.29	3.3	1.9	GZW
49	2026-05-14 01:13:35	50.18	19.06	3.9	2.3	GZW
50	2026-05-14 15:48:07	51.42	16.04	2.9	1.7	LGOM
51	2026-05-14 19:22:08	50.19	19.05	3.1	1.9	GZW
52	2026-05-14 19:24:28	50.07	19.05	3.2	1.9	GZW
53	2026-05-14 20:34:08	51.45	16.15	2.9	2.5	LGOM
54	2026-05-14 20:43:50	50.07	19.25	2.7	1.9	GZW
55	2026-05-15 04:21:51	51.51	15.99	1.1	1.9	LGOM

56	2026-05-16 11:36:53	50.00	18.59	1	2.6	GZW
57	2026-05-16 12:25:46	50.19	19.02	1.4	2.2	GZW
58	2026-05-18 06:09:25	51.47	16.25	1.8	1.8	LGOM
59	2026-05-18 16:40:06	51.48	16.10	1	1.8	LGOM
60	2026-05-18 20:04:17	51.45	16.12	1.8	1.9	LGOM
61	2026-05-19 03:42:05	50.20	18.98	2.9	2.0	GZW
62	2026-05-19 13:44:34	50.09	19.31	2.8	2.5	GZW
63	2026-05-20 23:13:44	51.52	16.07	1.4	2.1	LGOM
64	2026-05-21 16:37:58	50.24	18.85	1.7	2.1	GZW
65	2026-05-22 00:55:33	51.42	16.19	1.9	1.5	LGOM
66	2026-05-23 09:18:39	50.20	19.00	1	1.8	GZW
67	2026-05-23 15:45:39	51.51	16.11	1	2.4	LGOM
68	2026-05-24 21:23:48	51.50	16.08	1.6	1.9	LGOM
69	2026-05-25 01:57:55	51.53	15.98	1	1.6	LGOM
70	2026-05-25 12:59:25	51.52	16.13	1	2.3	LGOM
71	2026-05-26 03:42:45	51.55	16.09	3.1	3.3	LGOM
72	2026-05-26 10:55:36	51.50	16.10	1	2.2	LGOM
73	2026-05-26 23:33:18	50.07	19.25	1.6	1.8	GZW
74	2026-05-27 07:53:03	50.11	19.31	1	2.2	GZW
75	2026-05-27 19:25:39	50.12	19.29	1.3	1.8	GZW
76	2026-05-28 01:43:49	50.24	18.80	1.4	1.7	GZW
77	2026-05-28 04:41:50	50.22	18.75	1	2.2	GZW
78	2026-05-28 15:34:00	49.97	18.63	1	1.7	GZW
79	2026-05-28 18:38:29	50.10	19.30	3.8	2.2	GZW
80	2026-05-28 22:40:16	50.18	18.98	1	1.7	GZW
81	2026-05-29 08:28:40	50.08	18.46	1	2.3	GZW
82	2026-05-31 03:12:13	50.23	18.84	1	1.8	GZW
83	2026-05-31 20:03:40	51.21	19.21	1	2.8	KWB Bełchatów

Sekwencję czasową zjawisk sejsmicznych zarejestrowanych w maju 2026 r. w sieci PSG_Sejs_NET pokazano na **Rys. 2**, a ich statystykę w **Tab. 2**.



Rys. 2. Sekwencja czasowa zjawisk sejsmicznych zarejestrowanych w maju 2026 r. w sieci PSG_Sejs_NET na terenie Polski oraz w strefie przygranicznej w podziale na regiony, w których zjawiska wystąpiły.

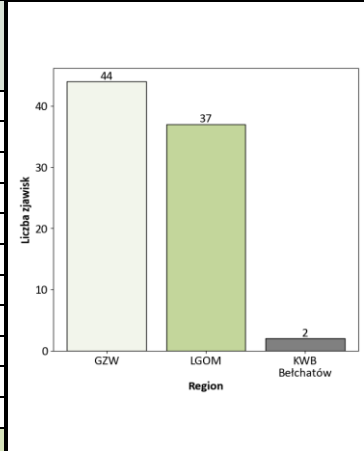
Tab. 2. Statystyka zjawisk sejsmicznych zarejestrowanych na obszarze Polski oraz w strefie przygranicznej w maju 2026 r. w sieci PSG_Sejs_NET.

Magnituda		Liczba zdarzeń	%
>	≤		
0.0	2.0	53	63.9
2.0	2.5	23	27.7
2.5	3.0	5	6.0
3.0	3.5	2	2.4
3.5	4.0	0	0.0
4.0	4.5	0	0.0
M>4.5		0	0.0
Razem:		83	100.0
w tym:	M≤2.5	76	91.6
	M>2.5	7	8.4
	M _{min.}	1.2	
	M _{śr.}	2.0	
	M _{maks.}	3.5	

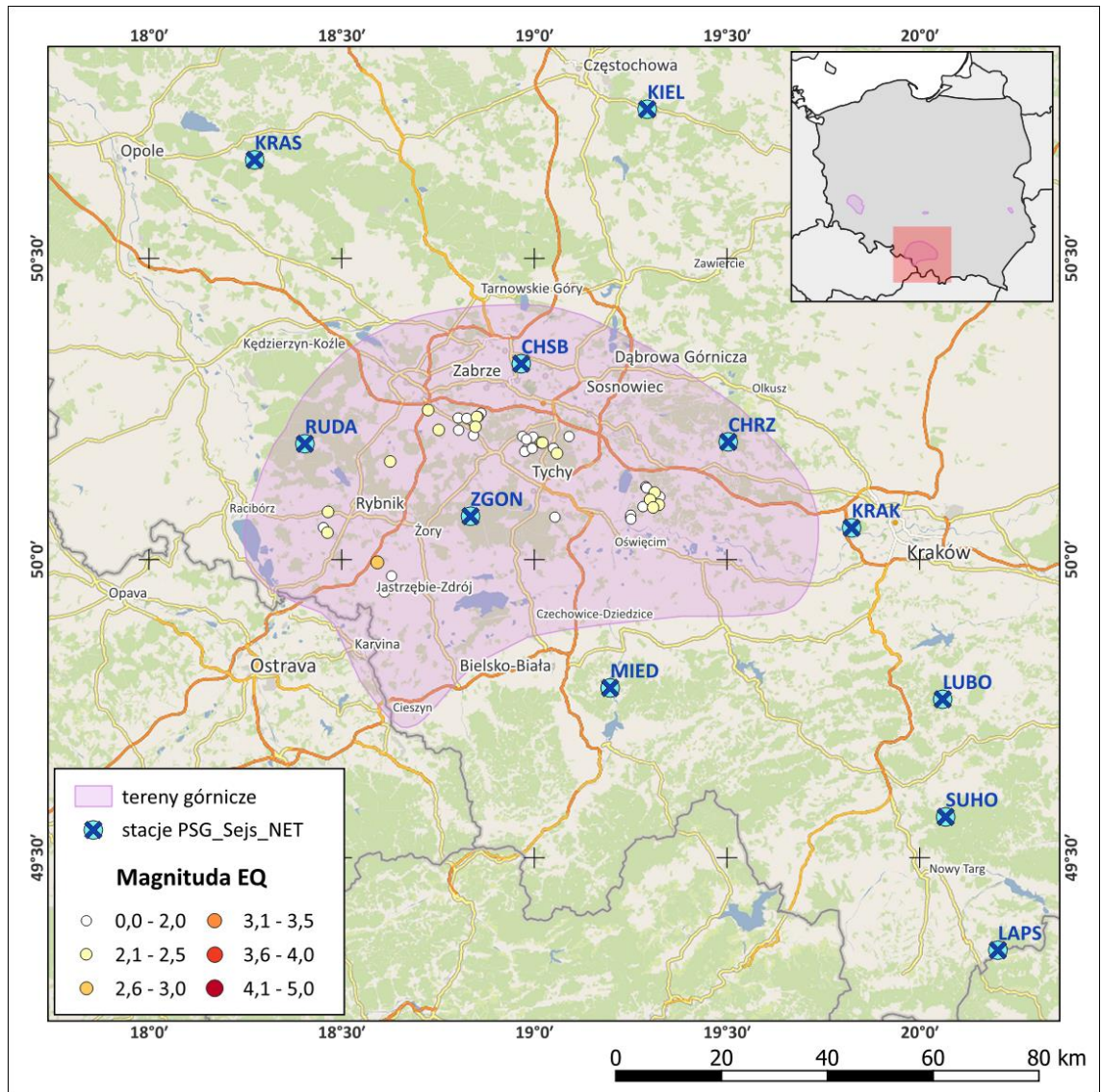
W **Tab. 3** zaprezentowano liczebność zjawisk sejsmicznych z podziałem na umowne regiony. W maju 2026 r. najbardziej aktywnym sejsmicznie regionem był region **Górnośląskiego Zagłębia Węglowego**, w obrębie którego zarejestrowano **44** zjawisk. W regionie Legnicko-Głogowskiego Okręgu Miedziowego zidentyfikowano **37** zjawisk sejsmicznych. W regionie Kopalni Węgla Brunatnego (KWB) Bełchatów zarejestrowano **2** zjawiska.

Tab. 3. Liczebność zjawisk sejsmicznych zarejestrowanych na obszarze Polski oraz w strefie przygranicznej w maju 2026 r. w sieci PSG_Sejs_NET w podziale na umowne regiony.

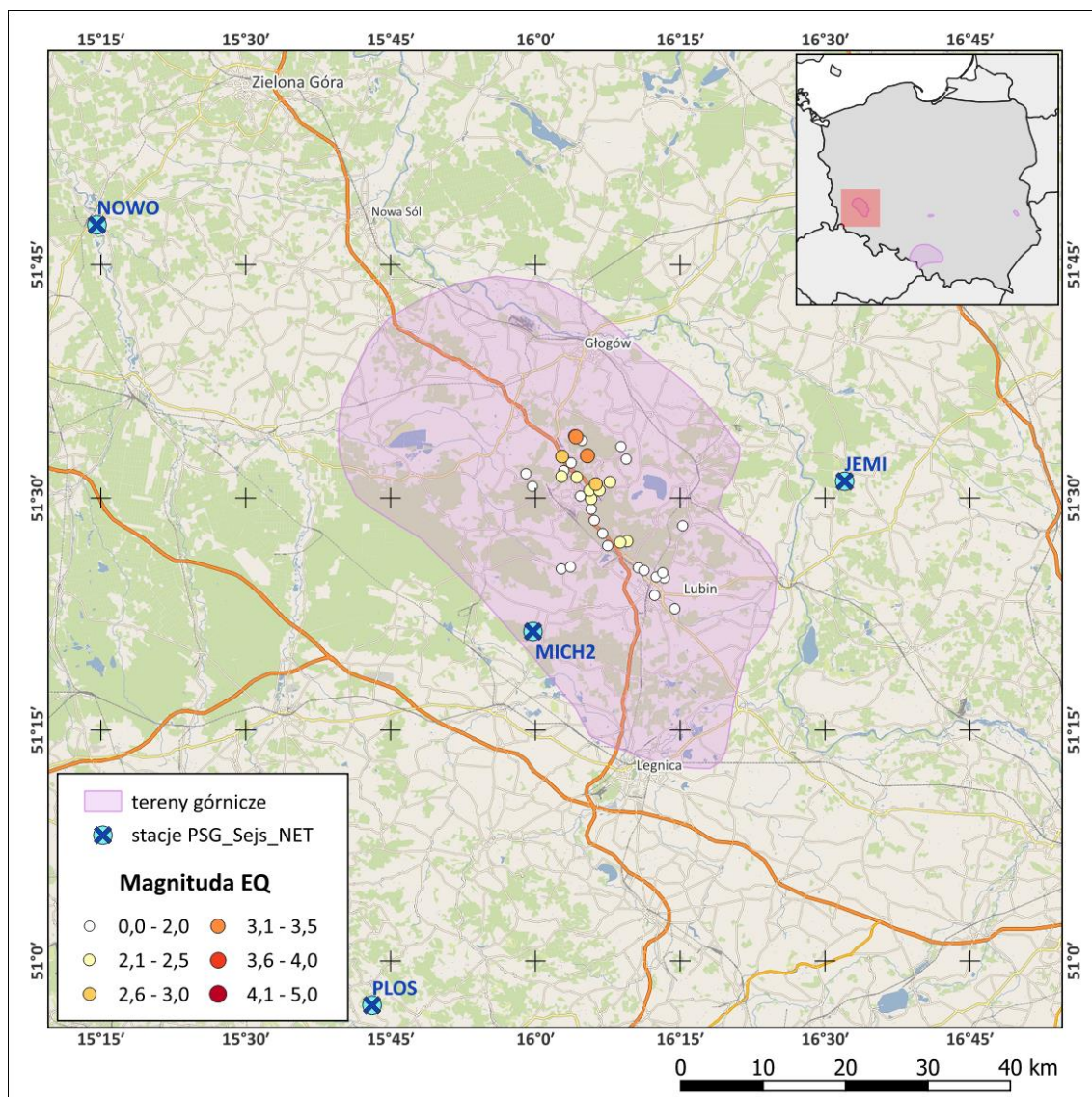
Lp.	Nazwa obszaru	Liczba zjawisk sejsmicznych	Liczba zjawisk sejsmicznych odczuwalnych
1	GZW (w tym Ostrawa-Karwina)	44	1
2	LGOM	37	4
3	LZW (KWK Bogdanka)	0	0
4	KWB Bełchatów	2	2
5	Podhale	0	0
6	Karpaty C & E i Przedgórze	0	0
7	Rejon Jarocina	0	0
8	Słowacja	0	0
9	Sudety i Przedgórze	0	0
10	KWB Turów	0	0
11	nieklasyfikowane	0	0
Razem (od 01/05/2026 do 31/05/2026 r.)		83	7



Lokalizacje epicentrow zjawisk z regionu GZW i LGOM zaprezentowano na **Rys. 3** i **Rys. 4**. Tereny górnicze, w których prowadzona jest eksploatacja górnicza i występuje zagrożenie tzw. sejsmicznością indukowaną zaznaczono również na mapach **załączników 1 i 2**.



Rys. 3. Lokalizacja epicentrów zjawisk sejsmicznych zarejestrowanych w sieci PSG_Sejs_NET państwowej służby geologicznej na obszarze GZW w maju 2026 r. (dane i oprac. PSG, podkład mapowy: OSM).



Rys. 4. Lokalizacja epicentrów zjawisk sejsmicznych zarejestrowanych w sieci PSG_Sejs_NET państwowej służby geologicznej na obszarze LGOM w maju 2026 r. (dane i oprac. PSG, podkład mapowy: OSM).

1.3. Górnośląska Regionalna Sieć Sejsmologiczna.

Na obszarze Górnośląskiego Zagłębia Węglowego zlokalizowane są stacje sejsmiczne Górnośląskiej Regionalnej Sieci Sejsmologicznej (GRSS). Zadaniem GRSS jest prowadzenie ciągłych obserwacji aktywności sejsmicznej, będącej skutkiem naruszenia równowagi naprężeń w ośrodku geologicznym na obszarze GZW w rezultacie bieżącej i wygaszonej eksploatacji górniczej.

W **Tab. 4** zaprezentowano wykaz zjawisk sejsmicznych zarejestrowanych w maju 2026 r. w sieci monitoringu sejsmicznego GRSS.

Tab. 4. Wykaz zdarzeń sejsmicznych zarejestrowanych w sieci GRSS w maju 2026 r. (na podst. danych GRSS, wg stanu na dzień 01/06/2026 r. 6:00).

Lp.	Data & Czas (UTC)	Szer. geogr. [°]	Dług. geogr. [°]	Mag.
1	2026-05-01 02:21:07	50.21	19.03	2.5
2	2026-05-01 03:21:48	50.23	18.87	2.3
3*)	2026-05-01 04:17:23	50.22	18.79	1.8
4	2026-05-01 07:34:37	50.26	18.75	2.6
5	2026-05-02 02:54:21	50.22	19.02	2.5
6*)	2026-05-02 09:01:35	50.22	18.79	2.2
7	2026-05-03 19:30:41	50.23	18.87	2.1
8	2026-05-04 06:34:01	50.17	18.63	2.6
9*)	2026-05-04 18:24:17	50.09	19.36	1.9
10	2026-05-04 21:34:44	50.21	19.03	2.4
11	2026-05-05 09:35:09	50.09	19.36	2.7
12	2026-05-05 18:14:15	49.95	18.65	2.3
13*)	2026-05-06 01:29:37	50.07	19.29	2.1
14	2026-05-06 15:00:05	50.23	18.87	2.6
15	2026-05-06 23:07:06	50.09	19.36	2.4
16*)	2026-05-07 08:24:53	50.21	19.03	2.3
17*)	2026-05-07 16:18:48	50.20	18.80	2.0
18	2026-05-08 23:59:41	50.08	19.29	2.3
19	2026-05-08 19:58:06	50.08	19.29	2.3
20	2026-05-08 21:56:35	50.05	18.46	2.1
21	2026-05-08 22:02:49	50.21	19.03	2.4
22	2026-05-08 23:59:41	50.23	18.87	2.4
23	2026-05-09 09:11:10	50.05	18.46	2.4
24*)	2026-05-11 10:26:26	50.19	18.69	2.4
25*)	2026-05-12 02:28:55	50.07	19.29	2.1
26*)	2026-05-12 03:04:33	50.23	18.87	2.0
27*)	2026-05-12 13:32:34	50.09	19.36	2.2
28*)	2026-05-12 14:59:08	50.18	19.10	2.3
29*)	2026-05-13 01:13:17	50.08	19.29	2.1
30	2026-05-13 15:48:25	50.09	19.36	2.3
31	2026-05-14 01:13:36	50.18	19.10	2.7
32	2026-05-14 19:22:09	50.18	19.10	2.6
33	2026-05-14 19:24:28	50.07	19.09	2.4
34	2026-05-14 20:43:51	50.08	19.29	2.3
35*)	2026-05-15 01:01:53	50.09	19.36	2.4
36*)	2026-05-15 02:12:52	50.23	18.87	2.2
37*)	2026-05-15 03:00:19	50.21	19.03	2.3
38*)	2026-05-15 14:02:08	50.07	19.29	2.1
39*)	2026-05-15 15:08:03	50.18	19.10	2.6
40*)	2026-05-15 21:49:38	50.21	18.75	2.0
41*)	2026-05-16 10:34:16	50.08	19.29	2.3
42	2026-05-16 11:36:53	49.99	18.60	2.8
43*)	2026-05-18 07:13:55	50.18	19.10	2.5
44*)	2026-05-18 09:59:29	50.08	19.29	2.0
45*)	2026-05-18 16:13:44	50.23	18.87	2.1
46*)	2026-05-18 19:59:27	50.18	19.10	2.3
47*)	2026-05-18 20:54:32	50.26	18.74	2.0
48*)	2026-05-18 22:25:01	50.08	19.29	2.0
49*)	2026-05-19 02:21:45	50.18	19.10	2.5
50*)	2026-05-19 05:18:50	50.08	19.29	2.1
51	2026-05-19 13:44:35	50.09	19.36	3.0
52*)	2026-05-19 15:14:56	50.23	18.87	2.6
53*)	2026-05-19 17:34:17	50.07	19.29	2.0
54*)	2026-05-19 18:43:14	50.08	19.29	2.1
55*)	2026-05-21 15:18:14	50.09	19.35	2.8

56	2026-05-21 16:37:58	50.23	18.87	2.5
57*)	2026-05-21 19:08:42	50.08	19.29	2.2
58*)	2026-05-22 15:47:35	50.08	19.29	2.3
59*)	2026-05-22 19:24:17	50.09	19.35	2.6
60*)	2026-05-23 11:39:38	50.08	19.29	2.1
61*)	2026-05-23 14:39:03	50.08	19.29	1.9
62*)	2026-05-23 17:41:46	49.97	18.64	2.4
63*)	2026-05-24 21:06:27	49.97	18.64	2.3
64*)	2026-05-25 19:22:15	50.23	18.87	2.3
65*)	2026-05-26 01:55:48	50.05	18.46	1.8
66*)	2026-05-26 10:27:40	50.17	18.63	2.8
67*)	2026-05-26 12:06:57	50.09	19.36	2.8
68*)	2026-05-26 12:19:47	50.09	19.35	2.9
69	2026-05-26 23:33:18	50.08	19.29	2.6
70	2026-05-27 07:53:04	50.09	19.35	3.2
71	2026-05-27 19:25:39	50.09	19.36	2.5
72*)	2026-05-28 03:47:14	50.08	19.29	2.5
73	2026-05-28 04:41:50	50.26	18.74	2.9
74	2026-05-28 15:34:00	49.97	18.64	2.7
75	2026-05-28 18:38:30	50.09	19.36	3.2
76*)	2026-05-28 18:47:48	50.08	19.29	2.5
77*)	2026-05-28 22:05:21	50.08	19.29	2.4
78*)	2026-05-28 22:26:51	50.08	19.29	2.4
79	2026-05-29 08:28:40	50.05	18.46	2.7

*) Zdarzenia sejsmiczne niezidentyfikowane w sieci PSG_Sejs_NET

Statystykę zdarzeń sejsmicznych na obszarze objętym monitoringiem Górnośląskiej Regionalnej Sieci Sejsmologicznej (na podst. danych z bazy GRSS) podsumowano w **Tab. 5.**

Tab. 5. Statystyka zdarzeń sejsmicznych na obszarze objętym monitoringiem Górnośląskiej Regionalnej Sieci Sejsmologicznej w maju 2026 roku.

Magnituda		Liczba zdarzeń	%
>	≤		
0.0	2.5	58	73.4
2.5	3.0	19	24.1
3.0	3.5	2	2.5
3.5	4.0	0	0.0
4.0	4.5	0	0.0
M>4.5		0	0.0
Razem:		79	100.0
w tym:	M≤2.5	58	73.4
	M>2.5	21	26.6
	M_{min.}	1.8	
	M_{śr.}	2.4	
	M_{maks.}	3.2	

1.4. Europejskie, Śródziemnomorskie Centrum Sejsmologiczne (European-Mediterranean Seismological Centre).

Europejskie, Śródziemnomorskie Centrum Sejsmologiczne (EMSC) rejestruje, przetwarza i analizuje dane sejsmologiczne z obszaru Europy oraz w skali globalnej z obszaru całej kuli ziemskiej. Sieć detekcji wstrząsów EMSC oparta jest o istniejące, narodowe sieci monitoringu sejsmicznego z ponad 70 krajów. W bazie danych sieci EMSC rejestrowane są zjawiska sejsmiczne, których epicentra zlokalizowane są również na terytorium Polski.

W maju 2026 r. do zasobów bazy danych EMSC włączone zostały wstrząsy, których identyfikacji dokonano na podstawie danych dostarczonych przez sejsmometry sieci PLSN (Polska Sieć

Seismologiczna - Instytut Geofizyki PAN) oraz sejsmometry sieci krajów ościennych. Źródła większości zarejestrowanych zjawisk znajdowały się w obszarze LGOM. Wszystkie te zjawiska wykryte zostały także w sieci PSG_Sejs_NET.

Listę zjawisk sejsmicznych z bazy danych EMSC, których epicentra zlokalizowane były na terytorium Polski przedstawiono w **Tab. 6**.

Tab. 6. Zjawiska sejsmiczne na obszarze Polski w maju 2026 r. zarejestrowane w sieci EMSC (wyciąg z bazy danych EMSC).

Lp.	Data & Czas (UTC)	Szer. geogr. [°]	Dług. geogr. [°]	Głęb. ogniska [km]	Mag.	Region
1	2026-05-03 12:18:09	51.23	19.12	1	2.8	POLAND
2	2026-05-03 18:38:46	51.60	16.08	1	4.3	POLAND
3	2026-05-04 21:17:11	51.52	16.17	1	2.3	POLAND
4	2026-05-05 08:12:15	51.45	16.12	1	2.2	POLAND
5	2026-05-05 09:35:09	50.11	19.36	1	2.1	POLAND
6	2026-05-06 05:21:59	51.51	16.14	0	2.8	POLAND
7	2026-05-06 15:00:34	50.27	18.85	0	2.2	POLAND
8	2026-05-07 21:39:35	51.55	16.12	0	2.4	POLAND
9	2026-05-08 03:43:53	51.46	16.17	1	2.7	POLAND
10	2026-05-08 18:35:14	51.58	16.13	3	2.8	POLAND
11	2026-05-08 22:02:48	50.17	18.99	6	2.1	POLAND
12	2026-05-09 09:11:09	50.06	18.48	1	2.0	POLAND
13	2026-05-12 02:14:54	51.52	16.15	0	2.4	POLAND
14	2026-05-12 04:37:55	51.57	16.10	6	2.5	POLAND
15	2026-05-13 14:02:34	51.54	16.16	0	2.4	POLAND
16	2026-05-14 01:13:34	50.20	19.07	8	2.4	POLAND
17	2026-05-14 15:48:07	51.44	16.07	0	2.1	POLAND
18	2026-05-14 20:34:07	51.47	16.13	6	2.8	POLAND
19	2026-05-15 04:21:51	51.54	16.08	0	2.2	POLAND
20	2026-05-16 11:36:52	49.97	18.60	1	2.8	POLAND
21	2026-05-16 12:25:46	50.21	18.97	1	2.1	POLAND
22	2026-05-18 20:04:16	51.45	16.21	0	2.2	POLAND
23*)	2026-05-19 09:06:56	51.22	19.30	0	2.2	POLAND
24	2026-05-19 13:44:33	50.08	19.35	10	2.4	POLAND
25*)	2026-05-20 12:41:24	50.21	19.01	1	2.1	POLAND
26	2026-05-20 23:13:43	51.57	16.09	1	2.3	POLAND
27*)	2026-05-21 15:18:12	50.18	19.30	10	2.2	POLAND
28	2026-05-21 16:37:57	50.29	18.83	1	2.1	POLAND
29	2026-05-23 15:45:39	51.52	16.15	0	2.6	POLAND
30	2026-05-24 21:23:47	51.52	16.14	1	2.1	POLAND
31	2026-05-25 12:59:24	51.53	16.15	1	2.6	POLAND
32	2026-05-26 03:42:43	51.59	16.10	6	3.2	POLAND
33	2026-05-26 10:55:36	51.54	16.16	0	2.4	POLAND
34*)	2026-05-26 12:19:46	50.10	19.37	1	2.0	POLAND
35	2026-05-27 07:53:02	50.10	19.36	10	2.4	POLAND
36	2026-05-28 04:41:49	50.29	18.71	6	2.2	POLAND
37	2026-05-28 18:38:29	50.04	19.31	10	2.5	POLAND
38	2026-05-29 08:28:39	50.07	18.44	0	2.5	POLAND

*) Zdarzenia sejsmiczne niezidentyfikowane w sieci PSG_Sejs_NET

Statystykę zdarzeń sejsmicznych z terytorium Polski zarejestrowanych w bazie EMSC podsumowano w **Tab. 7**.

Tab. 7. Statystyka zdarzeń sejsmicznych z terytorium Polski zarejestrowanych w bazie EMSC w maju 2026 roku.

Magnituda		Liczba zdarzeń	%
>	≤		
0.0	2.5	28	73.7
2.5	3.0	8	21.1
3.0	3.5	1	2.6
3.5	4.0	0	0.0
4.0	4.5	1	2.6
M>4.5		0	0.0
Razem:		38	100.0
w tym:	M≤2.5	28	73.7
	M>2.5	10	26.3
	M _{min.}	2.0	
	M _{śr.}	2.4	
	M _{maks.}	4.3	

2. AKTYWNOŚĆ SEISMICZNA NA KONTYNENCIE EUROPEJSKIM I W SKALI GLOBALNEJ (WG DANYCH EMSC).

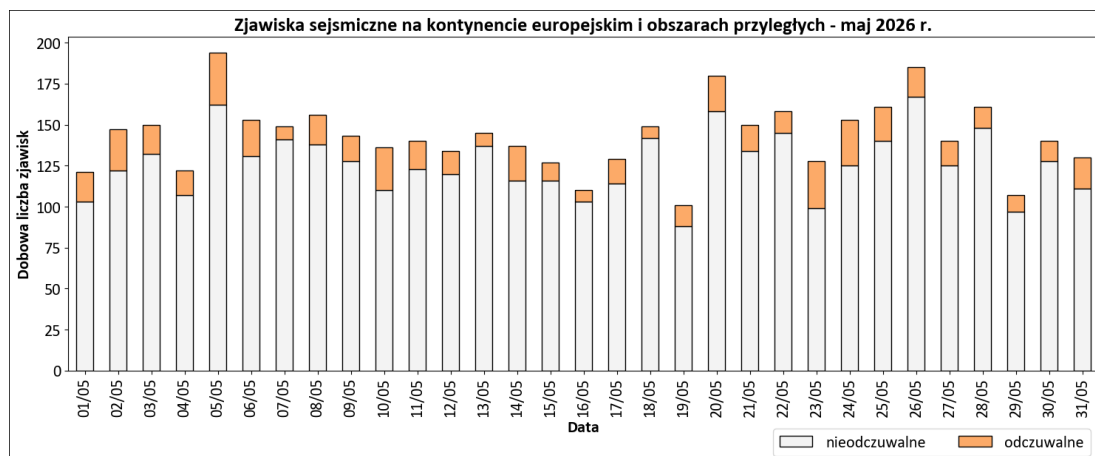
2.1. Aktywność sejsmiczna na kontynencie europejskim.

Na obszarze kontynentu europejskiego i obszarach przyległych w maju 2026 roku w bazie danych EMSC zarejestrowano **4436** zdarzeń sejsmicznych o magnitudzie od **M0.0** do **M5.4**.

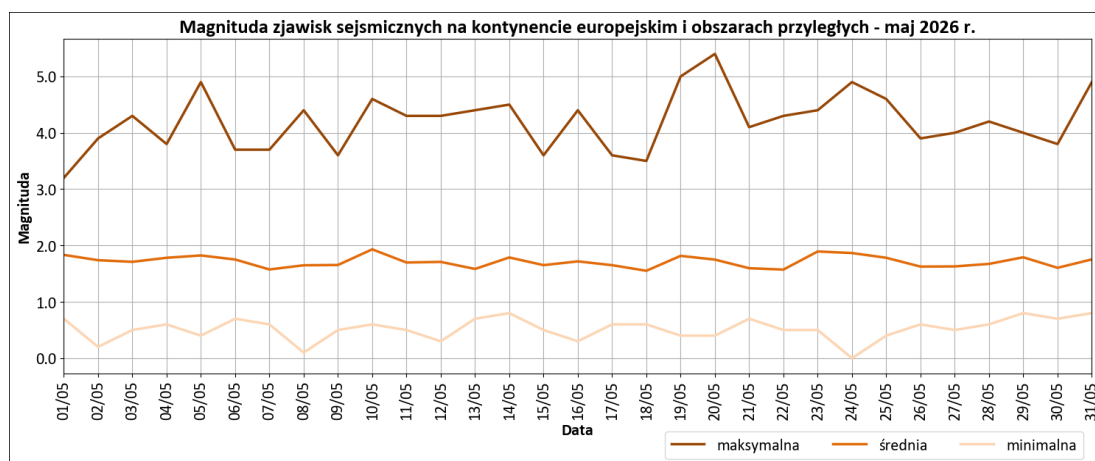
Lokalizacje epicentrow trzęsień ziemi obejmujących obszar Europy i tereny przyległe zaprezentowano na **zał. 3**. Charakterystykę europejskiej aktywności sejsmicznej w maju 2026 r., dla zjawisk z obszaru w granicach mapy podst. (**zał. 3**), przedstawiono w **Tab. 8** (statystyka wstrząsów) i na **Rys. 5** i **Rys. 6** (sekwencja zjawisk – dobowa liczebność i magnituda).

Tab. 8. Statystyka zjawisk sejsmicznych zarejestrowanych w bazie EMSC na obszarze Europy i obszarach przyległych (w granicach obszaru mapy podstawowej z **zał. 3**) w maju 2026 r. – oprac. PSG.

Magnituda		Liczba zdarzeń	%
>	≤		
0.0	2.5	3909	88.1
2.5	3.5	444	10.0
3.5	4.5	73	1.6
4.5	5.5	9	0.2
5.5	6.5	0	0.0
6.5	8.0	0	0.0
Razem:		4436	100.0
w tym:	M≤2.5	3910	88.1
	M>2.5	526	11.9
	M _{min.}	0.0	
	M _{śr.}	1.7	
	M _{maks.}	5.4	



Rys. 5. Sekwencja zjawisk sejsmicznych na kontynencie europejskim w maju 2026 r. – dobowa liczebność zjawisk (odczuwalnych i nieodczuwalnych) – oprac. PSG, dane EMSC.



Rys. 6. Sekwencja zjawisk sejsmicznych na kontynencie europejskim w maju 2026 r. – dobowa magnituda: minimalna, średnia i maksymalna – oprac. PSG, dane EMSC.

Regionalna charakterystyka aktywności sejsmicznej w maju 2026 r., mierzona liczbą zarejestrowanych zjawisk o **magnitudach przekraczających próg odczuwalności ($M > 2.5$)**, zaprezentowana została w **Tab. 9**. Z analizy zjawisk zarejestrowanych wynika, że w maju w obszarze europejskim największą aktywnością sejsmiczną wyróżniał się region **Krety, Grecja**.

Tab. 9. Najbardziej aktywne regiony sejsmologiczne na kontynencie europejskim i obszarach przyległych w maju 2026 r. pod względem liczby zarejestrowanych, odczuwalnych zjawisk sejsmicznych (oprac. PSG na podstawie danych EMSC).

Lp.	Region	Liczba odczuwalnych zjawisk zarejestrowanych w EMSC - maj 2026 r.	Procentowy udział w miesięcznej liczbie zjawisk odczuwalnych - maj 2026 r.
1	CRETE, GREECE	118	22.43
2	CENTRAL TURKEY	40	7.60
3	WESTERN TURKEY	29	5.51
4	DODECANESE ISLANDS, GREECE	27	5.13
5	EASTERN TURKEY	25	4.75
6	GREECE	23	4.37
7	STRAIT OF GIBRALTAR	21	3.99

W maju 2026 r. na kontynencie europejskim oraz obszarach przyległych zanotowano 2 zjawiska o magnitudzie $M \geq 5$. Podstawowe parametry najsilniejszych europejskich zjawisk przedstawiono w **Tab. 10**.

Tab. 10. Wykaz zjawisk sejsmicznych o magnitudzie $M \geq 5.0$, zarejestrowanych na obszarze Europy i obszarach przyległych (w granicach obszaru mapy podstawowej – zał. 3) w maju 2026 r. (na podst. danych z bazy EMSC).

Lp.	Data & Czas (UTC)	Szer. geogr. [°]	Dług. geogr. [°]	Głęb. ogniska [km]	Mag.	Region
1	2026-05-19 20:40:43	40.34	63.09	10	5.0	WESTERN UZBEKISTAN
2	2026-05-20 06:00:16	38.29	38.57	7	5.4	EASTERN TURKEY

Lokalizacje epicentrow zjawisk sejsmicznych o magnitudzie $M > 2.5$ z obszaru Europy i obszarów przyległych zaprezentowano na **zał. 3**.

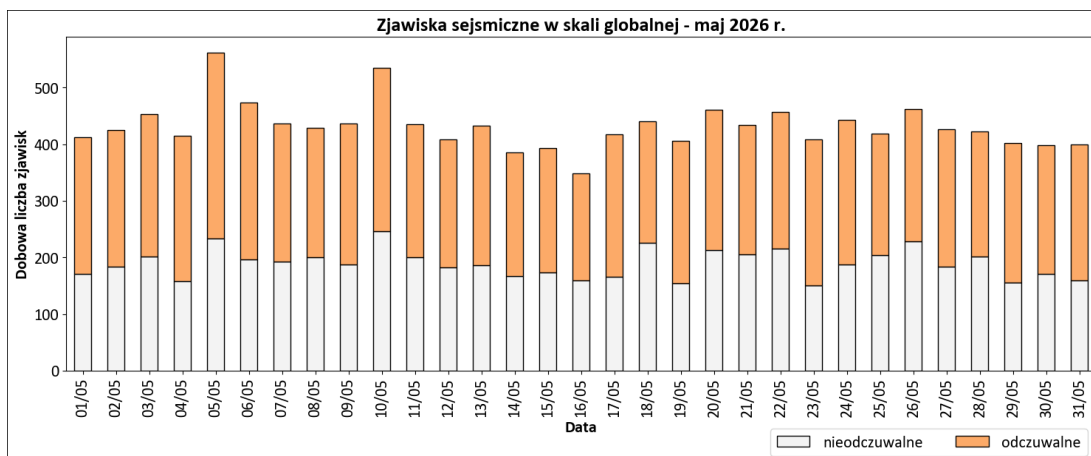
2.2. Globalna aktywność sejsmiczna.

W maju 2026 roku w skali globalnej w bazie danych EMSC zarejestrowano **13376** zjawisk sejsmicznych o magnitudzie od **M0.0** do **M6.9**.

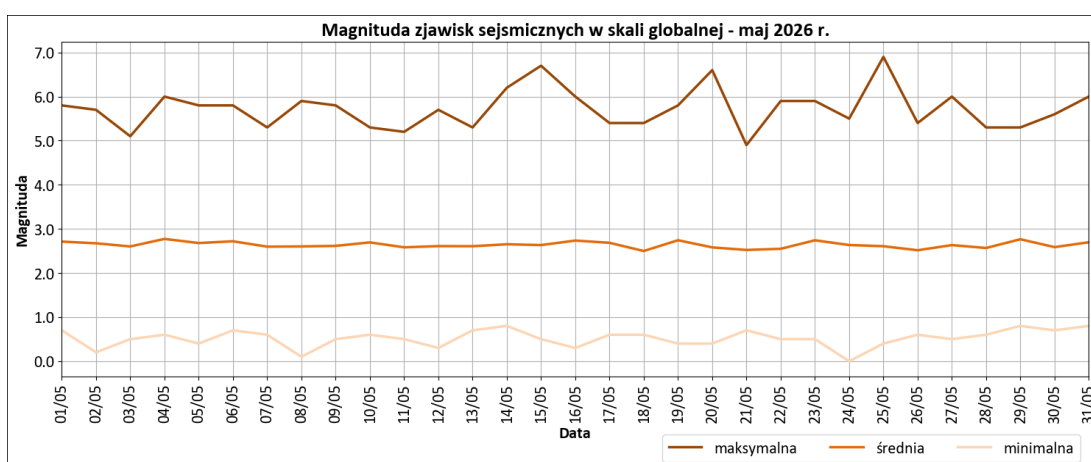
Lokalizacje epicentrow trzęsień ziemi zarejestrowanych na obszarze całej kuli ziemskiej zaprezentowano na **zał. 4**. Charakterystykę globalnej aktywności sejsmicznej w maju 2026 r., przedstawiono w **Tab. 11** (statystyka wstrząsów) i na **Rys. 7** i **Rys. 8** (sekwencja zjawisk – dobowa liczebność i magnituda).

Tab. 11. Statystyka zjawisk sejsmicznych zarejestrowanych w bazie EMSC na obszarze kuli ziemskiej w maju 2026 r. – oprac. PSG.

Magnituda		Liczba zdarzeń	%
>	≤		
0.0	2.5	5861	43.8
2.5	3.5	5437	40.6
3.5	4.5	1707	12.8
4.5	5.5	337	2.5
5.5	6.0	29	0.2
6.0	7.0	4	0.0
>7.0		0	0.0
Razem:		13376	100.0
w tym:	M≤2.5	5862	43.8
	M>2.5	7514	56.2
	M_{min.}	0.0	
	M_{śr.}	2.6	
	M_{maks.}	6.9	



Rys. 7. Sekwencja zjawisk sejsmicznych w skali globalnej w maju 2026 r. – dobowa liczebność zjawisk (odczuwalnych i nieodczuwalnych) – oprac. PSG, dane EMSC.



Rys. 8. Sekwencja zjawisk sejsmicznych w skali globalnej w maju 2026 r. – dobowa magnituda: minimalna, średnia i maksymalna – oprac. PSG, dane EMSC.

Regionalna charakterystyka aktywności sejsmicznej w maju 2026 r., mierzona liczbą zarejestrowanych zjawisk o **magnitudach przekraczających próg odczuwalności ($M > 2.5$)**, zaprezentowana została w **Tab. 12**. Z analizy zjawisk zarejestrowanych wynika, że w maju w skali globalnej największą aktywnością sejsmiczną wyróżniał się region **Morza Moluckiego**.

Tab. 12. Najbardziej aktywne regiony sejsmologiczne na świecie w maju 2026 r. pod względem liczebności zarejestrowanych, odczuwalnych zdarzeń sejsmicznych (oprac. PSG na podstawie danych EMSC).

Lp.	Region	Liczba odczuwalnych zjawisk zarejestrowanych w EMSC - maj 2026 r.	Procentowy udział w miesięcznej liczbie zjawisk odczuwalnych - maj 2026 r.
1	MOLUCCA SEA	396	5.27
2	ANTOFAGASTA, CHILE	351	4.67
3	JAVA, INDONESIA	206	2.74
4	SOUTH OF JAVA, INDONESIA	180	2.40
5	OAXACA, MEXICO	175	2.33
6	TARAPACA, CHILE	171	2.28
7	SULAWESI, INDONESIA	123	1.64
8	CRETE, GREECE	118	1.57
9	SUMBA REGION, INDONESIA	108	1.44
10	OFF E. COAST OF N. ISLAND, N.Z.	107	1.42
11	SAN JUAN, ARGENTINA	107	1.42

12	COSTA RICA	103	1.37
13	NEAR N COAST OF PAPUA, INDONESIA	101	1.34

Wykaz najsilniejszych zjawisk sejsmicznych, które zostały zarejestrowane w maju br. na obszarze kuli ziemskiej, których magnituda osiągnęła lub przekroczyła wartość **M6.0** przedstawiono w tabeli 13.

Tab. 13. Wykaz zjawisk sejsmicznych o magnitudzie $M \geq 6.0$, zarejestrowanych na obszarze kuli ziemskiej w maju 2026 r. (oprac. PSG na podst. danych z bazy EMSC).

Lp.	Data & Czas (UTC)	Szer. geogr. [°]	Dług. geogr. [°]	Głęb. ogniska [km]	Mag.	Region
1	2026-05-04 06:09:50	11.75	125.36	75	6.0	SAMAR, PHILIPPINES
2	2026-05-14 17:53:14	-6.17	130.40	146	6.2	BANDA SEA
3	2026-05-15 11:22:01	38.94	142.05	40	6.7	NEAR EAST COAST OF HONSHU, JAPAN
4	2026-05-16 14:50:05	17.37	-61.34	50	6.0	ANTIGUA AND BARBUDA REGION
5	2026-05-20 17:43:01	-56.05	-122.45	6	6.6	SOUTHERN EAST PACIFIC RISE
6	2026-05-25 21:52:18	-22.46	-68.58	95	6.9	ANTOFAGASTA, CHILE
7	2026-05-27 14:51:06	-50.47	139.45	10	6.0	WESTERN INDIAN-ANTARCTIC RIDGE
8	2026-05-27 15:01:12	-50.46	139.44	10	6.0	WESTERN INDIAN-ANTARCTIC RIDGE
9	2026-05-31 21:34:18	-32.80	-71.86	25	6.0	OFFSHORE VALPARAISO, CHILE

3. MONITORING ZMIAN PIONOWEJ SKŁADOWEJ PRZYSPIESZENIA SIŁY CIĘŻKOŚCI.

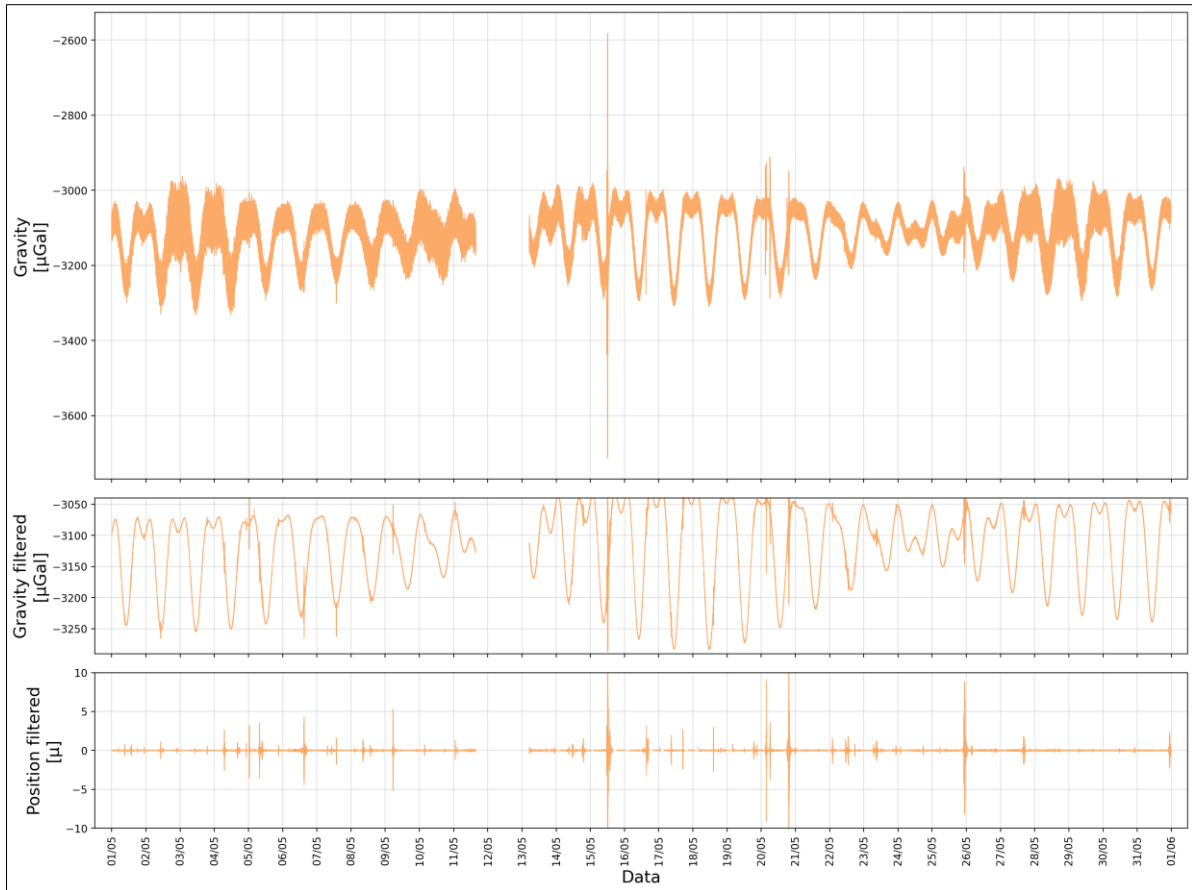
Przedmiotem monitoringu grawimetrycznego są periodyczne (m. in. pływy grawitacyjne spowodowane oddziaływaniem grawitacyjnym Słońca i Księżycy) i nieperiodyczne zmiany przyspieszenia składowej pionowej pola grawitacyjnego (m. in. wstrząsy i zjawiska sejsmiczne) na stałym stanowisku obserwacyjnym w laboratorium geodynamicznym PSG w Hołownie (HOLO) w gm. Podedwórze w pow. parczewskim.

Do monitoringu grawimetrycznego wykorzystywany jest sprężynowy, względny grawimetr pływowy gPhoneX nr 165 prod. Micro-g LaCoste (USA) o rozdzielczości $0.1 \mu\text{Gal}$ i precyzji $\pm 1.0 \mu\text{Gal}$. Pomiar siły ciężkości wykonywane są z 1 Hz oraz 5 Hz częstotliwością odczytów.

Na **Rys. 9** zaprezentowane zostały wykresy wyników obserwacji grawimetrycznych zarejestrowane w maju 2026 r. przedstawiające:

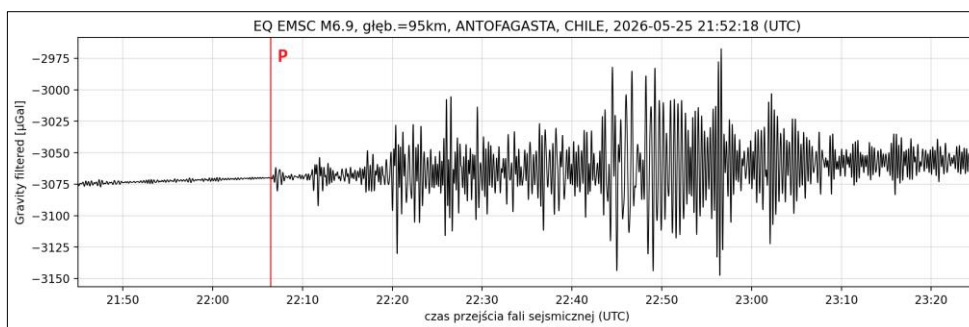
- zarejestrowane oscylacje składowej pionowej przyspieszenia siły ciężkości wywołane głównie działaniem sił pływowych (przyciąganie grawitacyjne Słońca i Księżycy) w skorupie ziemskiej, czyli dane surowe – komponent **Gravity [μGal]**,
- dane po filtracji dolnoprzepustowej ($f_c = 0.07 \text{ Hz}$) – komponent **Gravity filtered [μGal]**,
- wielkości przemieszczenia pionowego (odpowiadające zmianom przyspieszenia) w trakcie przejścia fal sejsmicznych przez stanowisko obserwacji wyznaczone na podstawie podwójnego całkowania zredukowanych zmian przyspieszenia siły ciężkości, również po filtracji dolnoprzepustowej ($f_c = 0.07 \text{ Hz}$) – komponent **Position filtered [μ]**.

Występujące nieregularne zjawiska o wysokich amplitudach, których obraz falowy wyraźnie zaznaczył się na zapisach, są wywołane falami sejsmicznymi wygenerowanymi w źródłach najsilniejszych trzęsień ziemi występujących na świecie.

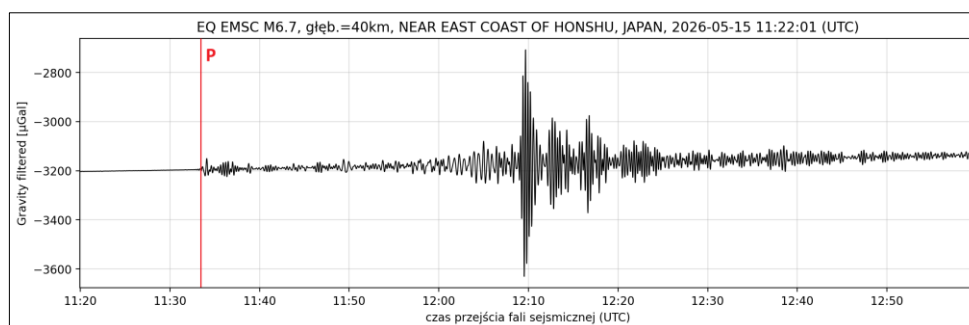


Rys. 9. Zmiany pionowej składowej siły ciężkości g zarejestrowane w okresie od **01/05/2026** do **31/05/2026** r. w laboratorium geodynamicznym PSG w Hołownie; zmiany składowej pionowej przyspieszenia siły ciężkości (górny wykres), zmiany składowej pionowej przyspieszenia siły ciężkości po filtracji dolnoprzepustowej (środkowy wykres), podwójnie przecałkowane, zredukowane zmiany składowej pionowej przyspieszenia siły ciężkości po filtracji dolnoprzepustowej (dolny wykres).

Na **Rys. 10** i **Rys.11** przedstawiono efekty dwóch najmocniejszych trzęsień ziemi (obrazy falowe zarejestrowane gravimetrem gPhoneX nr 165) widocznych w zapisie monitoringu składowej pionowej siły ciężkości w laboratorium geodynamicznym w Hołownie (stacja HOLO) odpowiednio z dnia 25/05/2026 r. w regionie *ANTOFAGASTA, CHILE* o magnitudzie M6.9 oraz z dnia 15/05/2026 r. w regionie *NEAR EAST COAST OF HONSHU, JAPAN* o magnitudzie M6.7. Parametry wymienionych zjawisk, na podstawie danych EMSC, zostały przedstawione w **Tab. 13**. Na wykresach przedstawiono zmiany składowej pionowej przyspieszenia siły ciężkości po filtracji dolnoprzepustowej oraz zaznaczono pierwsze wejście fali (P).

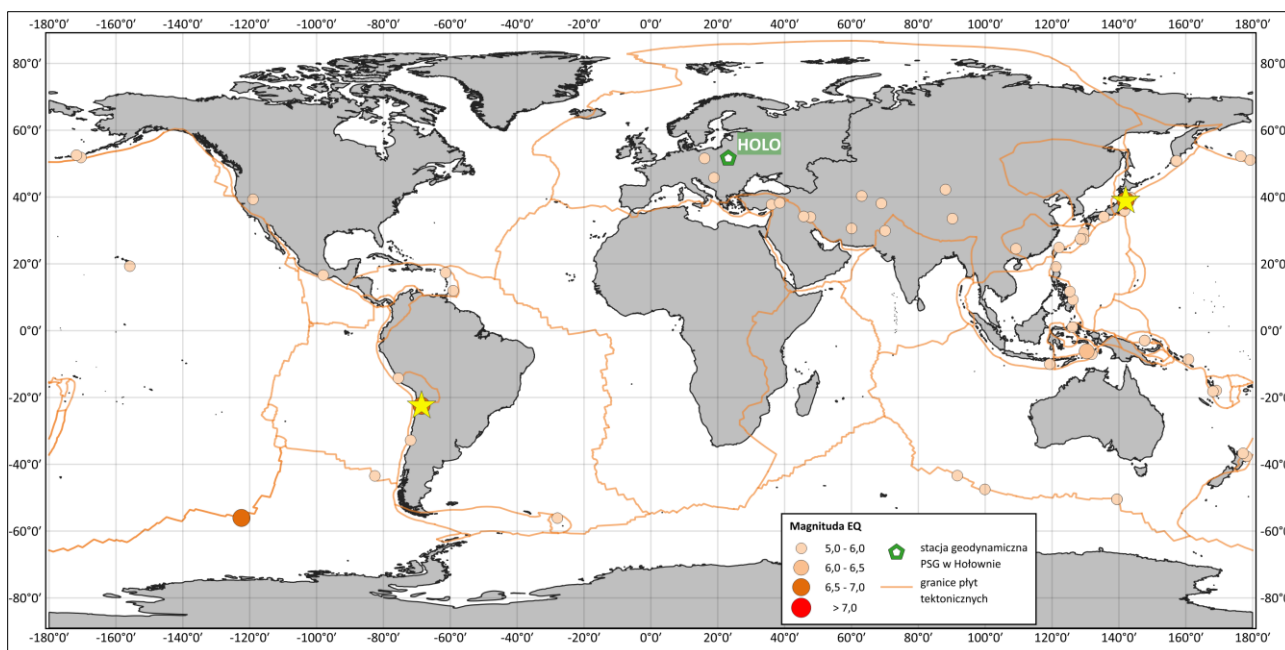


Rys. 10. Fragment zapisu (przyspieszenia) z monitoringu grawimetrycznego pola siły ciężkości na stacji HOLO zarejestrowany w trakcie przejścia przez punkt obserwacji grawimetrycznych fal sejsmicznych wywołanych w ognisku trzęsienia ziemi o magnitudzie M6.9 z dnia 25/05/2026 r. w regionie ANTOFAGASTA, CHILE.



Rys. 11. Fragment zapisu (przyspieszenia) z monitoringu grawimetrycznego pola siły ciężkości na stacji HOLO zarejestrowany w trakcie przejścia przez punkt obserwacji grawimetrycznych fal sejsmicznych wywołanych w ognisku trzęsienia ziemi o magnitudzie M6.7 z dnia 15/05/2026 r. w regionie NEAR EAST COAST OF HONSHU, JAPAN.

Lokalizacja epicentrów zjawisk sejsmicznych widocznych w zapisie parametrów monitoringu grawimetrycznego w maju 2026 r., których obraz falowy wyraźnie zaznaczył się na dolnym wykresie (**Rys. 9**, komponent *Position filtered*) przedstawiono na **Rys. 12**. Dodatkowo gwiazdką oznaczono najsilniejsze trzęsienia ziemi, których fragment zapisu przedstawiono powyżej (**Rys. 10** i **Rys. 11**). W **Tab. 14** przedstawiono wykaz podstawowych danych odnoszących się do tych zjawisk sejsmicznych na podstawie bazy EMSC.



Rys. 12. Lokalizacja epicentrów wybranych zjawisk sejsmicznych widocznych w zapisie parametrów monitoringu grawimetrycznego w maju 2026 r. na stacji geodynamicznej PSG w Hołownie (HOLO).

Tab. 14. Wykaz wybranych zjawisk sejsmicznych zarejestrowanych w maju 2026 r. w zapisach parametrów monitoringu grawimetrycznego na stacji PSG w Hołownie (dane w tabeli wg danych EMSC).

Lp.	Data	Godz. (UTC)	Szer. geogr. [°]	Dług. geogr. [°]	Głęb. ogniska [km]	Mag.	Nazwa regionu sejsmologicznego
1	2026-05-01	04:03:16	50.84	157.03	80	5.1	KURIL ISLANDS
2	2026-05-01	08:17:21	39.34	-119.01	10	5.2	NEVADA
3	2026-05-01	12:39:55	24.91	122.09	96	5.8	TAIWAN REGION
4	2026-05-01	13:00:41	35.95	141.69	35	4.9	NEAR EAST COAST OF HONSHU, JAPAN
5	2026-05-02	09:28:40	34.12	135.55	50	5.7	NEAR S. COAST OF WESTERN HONSHU
6	2026-05-02	21:19:13	-37.61	178.25	40	5.1	OFF E. COAST OF N. ISLAND, N.Z.
7	2026-05-03	10:00:34	42.26	88.16	10	5.1	NORTHERN XINJIANG, CHINA
8	2026-05-03	18:38:46	51.6	16.08	1	4.3	POLAND
9	2026-05-04	06:09:50	11.75	125.36	75	6	SAMAR, PHILIPPINES
10	2026-05-04	15:19:25	16.63	-98	18	5.7	OAXACA, MEXICO
11	2026-05-04	16:47:46	30.62	60.07	3	4.8	EASTERN IRAN
12	2026-05-05	00:35:51	45.79	18.93	10	4.2	CROATIA
13	2026-05-05	06:44:54	-10.01	119.32	58	5.8	SUMBA REGION, INDONESIA
14	2026-05-05	08:00:48	-36.7	177.17	35	5.8	OFF E. COAST OF N. ISLAND, N.Z.
15	2026-05-05	20:53:21	34.21	45.75	10	4.9	IRAN-IRAQ BORDER REGION
16	2026-05-06	04:06:08	29.92	70.09	10	4.9	PAKISTAN
17	2026-05-06	14:15:32	52.26	176.47	3	5.8	RAT ISLANDS, ALEUTIAN ISLANDS
18	2026-05-07	06:39:20	29.21	129.48	25	4.7	RYUKYU ISLANDS, JAPAN
19	2026-05-08	07:17:44	-43.38	91.7	10	5.9	SOUTHEAST INDIAN RIDGE
20	2026-05-08	12:22:34	-2.92	147.73	29	5.6	ADMIRALTY ISLANDS REGION, P.N.G.
21	2026-05-09	04:42:20	51.09	179.31	6	5.8	RAT ISLANDS, ALEUTIAN ISLANDS
22	2026-05-10	02:42:23	-7.02	131.94	10	5	KEP. TANIMBAR REGION, INDONESIA
23	2026-05-11	00:21:40	39.83	143.64	10	4.9	OFF EAST COAST OF HONSHU, JAPAN
24	2026-05-11	01:41:16	27.4	129.49	3	5.1	RYUKYU ISLANDS, JAPAN
25	2026-05-13	22:01:06	19.12	121.21	35	5.3	BABUYAN ISL REGION, PHILIPPINES
26	2026-05-14	17:53:14	-6.17	130.4	146	6.2	BANDA SEA
27	2026-05-15	01:14:00	-2.97	147.76	10	5.4	ADMIRALTY ISLANDS REGION, P.N.G.

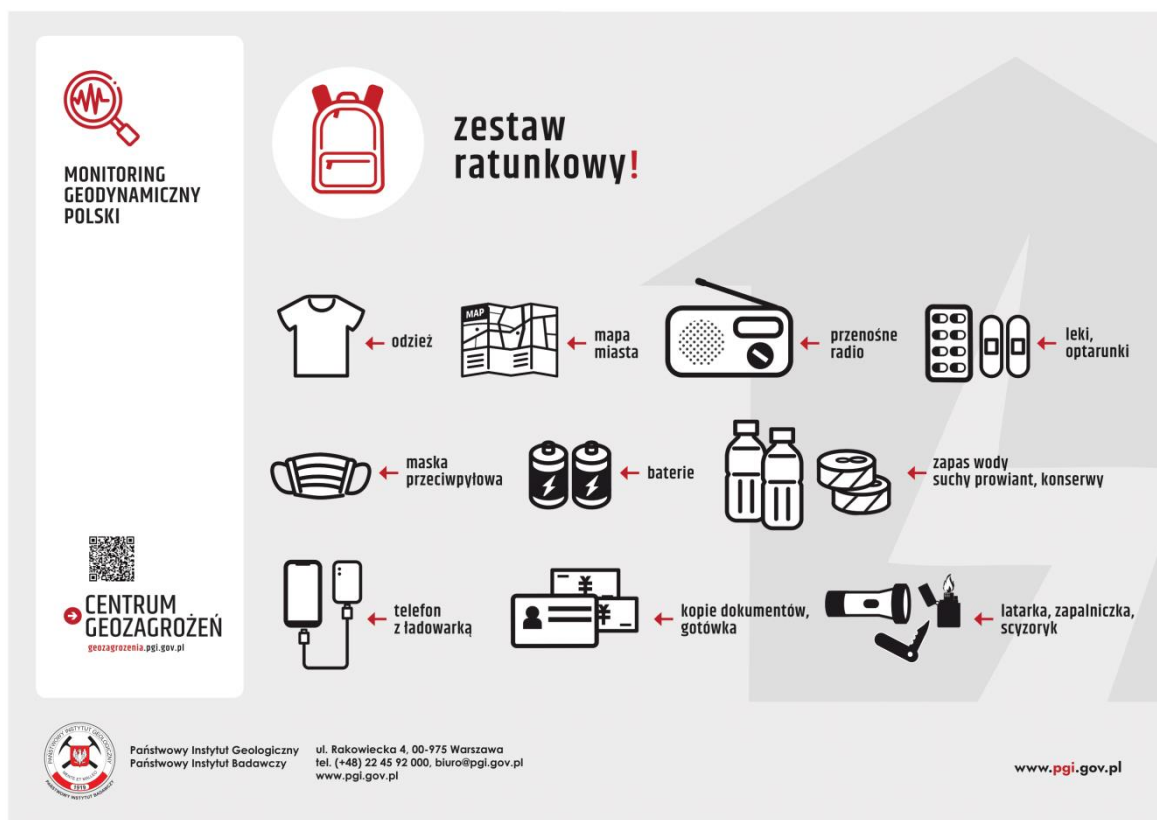
28	2026-05-15	11:22:01	38.94	142.05	40	6.7	NEAR EAST COAST OF HONSHU, JAPAN
29	2026-05-16	14:50:05	17.37	-61.34	50	6	ANTIGUA AND BARBUDA REGION
30	2026-05-16	15:17:57	-8.58	160.83	30	5.7	SOLOMON ISLANDS
31	2026-05-16	15:58:04	-17.88	169.15	9	5.5	VANUATU
32	2026-05-17	08:04:18	50.89	157.27	45	5.4	KURIL ISLANDS
33	2026-05-18	02:10:41	-43.46	-82.54	10	5.4	WEST CHILE RISE
34	2026-05-18	13:44:26	24.54	109.23	10	5.1	GUANGXI, CHINA
35	2026-05-19	02:29:25	-18.15	168.15	32	5.7	VANUATU
36	2026-05-19	11:50:29	34.02	47.74	10	4.8	WESTERN IRAN
37	2026-05-19	17:43:01	38.12	68.98	10	4.5	TAJKISTAN
38	2026-05-19	17:57:55	-14.19	-75.53	64	5.8	NEAR COAST OF CENTRAL PERU
39	2026-05-19	20:40:43	40.34	63.09	10	5	WESTERN UZBEKISTAN
40	2026-05-20	02:46:25	27.51	128.57	43	5.9	RYUKYU ISLANDS, JAPAN
41	2026-05-20	06:00:16	38.29	38.57	7	5.4	EASTERN TURKEY
42	2026-05-20	17:43:01	-56.05	-122.45	6	6.6	SOUTHERN EAST PACIFIC RISE
43	2026-05-20	23:00:58	-56.1	-27.93	113	5.7	SOUTH SANDWICH ISLANDS REGION
44	2026-05-22	01:05:09	1.08	126.14	40	5.9	MOLUCCA SEA
45	2026-05-22	10:08:23	-2.93	147.72	29	5.7	ADMIRALTY ISLANDS REGION, P.N.G.
46	2026-05-22	12:16:13	52.56	-171.82	4	5.6	FOX ISLANDS, ALEUTIAN ISLANDS
47	2026-05-22	17:16:27	33.56	90.23	10	5.1	XIZANG-QINGHAI BORDER REGION
48	2026-05-23	05:41:35	-47.5	99.94	10	5.6	SOUTHEAST INDIAN RIDGE
49	2026-05-23	07:46:01	19.32	-155.85	13	5.9	ISLAND OF HAWAII, HAWAII
50	2026-05-23	21:49:17	51.85	-170.47	10	5.3	FOX ISLANDS, ALEUTIAN ISLANDS
51	2026-05-24	01:26:53	37.77	36.13	9	4.9	CENTRAL TURKEY
52	2026-05-24	16:48:42	9.29	126.26	40	5.5	MINDANAO, PHILIPPINES
53	2026-05-25	21:52:18	-22.46	-68.58	95	6.9	ANTOFAGASTA, CHILE
54	2026-05-27	14:51:06	-50.47	139.45	10	6	WESTERN INDIAN-ANTARCTIC RIDGE
55	2026-05-27	15:01:12	-50.46	139.44	10	6	WESTERN INDIAN-ANTARCTIC RIDGE
56	2026-05-30	21:27:23	11.98	-59.12	20	5.6	BARBADOS REGION, WINDWARD ISL.
57	2026-05-31	21:34:18	-32.8	-71.86	25	6	OFFSHORE VALPARAISO, CHILE

4. DODATEK – PAŃSTWOWA SŁUŻBA GEOLOGICZNA RADZI, JAK ZACHOWAĆ SIĘ W CZASIE ZJAWISK SEISMICZNYCH.

Uwaga: Poradnik znajdujący się poniżej został opracowany na podstawie zaleceń Ministerstwa Spraw Zagranicznych (<https://www.gov.pl/web/dyplomacja/trzesienia-ziemi>).

Według zaleceń Ministerstwa Spraw Zagranicznych (MSZ), gdy **podróżujesz do obszaru zagrożonego trzęsieniami ziemi**, zalecane są następujące kroki:

- Zarejestruj się w serwisie MSZ Odyseusz (<https://odyseusz.msz.gov.pl/>). Umożliwi to w przypadku wystąpienia nadzwyczajnych sytuacji udzielenie pomocy poprzez właściwą placówkę dyplomatyczno-konsularną, a także otrzymywanie powiadomień o zagrożeniach w kraju podróży.
- Sprawdź, czy Twoje ubezpieczenie podróżne obejmuje również skutki katastrof naturalnych.
- Pamiętaj o zapisaniu numerów do lokalnych służb ratunkowych, ubezpieczyciela i ambasady.
- Na miejscu (np. w hotelu) sprawdź, gdzie znajdują się wyjścia ewakuacyjne oraz gdzie jest najbliższa otwarta przestrzeń.
- Jeśli podróżujesz z rodziną/przyjaciółmi ustalcie gdzie się spotkacie w przypadku wstrząsów podczas, których możecie zostać rozdzieleni.
- Wieczorem zostawiaj buty przy łóżku.
- Przygotuj plecak/torbę podręczną z zestawem ratunkowym (zobacz, co warto do niego włożyć na grafice poniżej).



Jadąc do obszaru zagrożonego trzęsieniami ziemi dobrze być przygotowanym na ewentualne wstrząsy. Poniższa grafika pokazuje, jak zachować się podczas ich wystąpienia. Ważne jest, aby wiedzieć, jak postępować w różnych przypadkach. Na grafice zostały pokazane sposoby zachowania w sytuacji, kiedy znajdujemy się w środku budynku oraz gdy przebywamy na zewnątrz.



**MONITORING
GEODYNAMICZNY
POLSKI**



**CENTRUM
GEOZAGROZEŃ**
geozagrozenia.pgi.gov.pl

JAK ZACHOWAĆ SIĘ PODCZAS TRZĘSIENIA ZIEMI?!



**znajdujesz się
na zewnątrz?!**



**znajdujesz się
w budynku, w pomieszczeniu?!**



Połóż się na podłodze i **chron głowę**, a jeśli możesz schowaj się pod stołem i **zabezpiecz się przed spadającymi przedmiotami**



Idziesz pieszo? Odejdź od budynków, drzew, latarni ulicznych i innych przewodów



Jeśli jesteś w łóżku, nie wstawaj i **ochron głowę i szyję poduszką**



Jestes w Pojeździe? Zatrzymaj się z dala od budynków, drzew, wiaduktów, mostów, linii energetycznych itp.



Zostań w budynku aż do ustania wstrząsów



Znajdujesz się blisko zboczy? Uważaj na spadające skały i możliwe osunięcia ziemi



Państwowy Instytut Geologiczny
Państwowy Instytut Badawczy

ul. Rakowiecka 4, 00-975 Warszawa
tel. (+48) 22 45 92 000, biuro@pgi.gov.pl
www.pgi.gov.pl

www.pgi.gov.pl

Wstrząsy ustały, co robić dalej? Przede wszystkim postaraj się zachować spokój i sprawdź, czy nie masz żadnych obrażeń. Po drugie **śłuchaj komunikatów** lokalnych władz oraz służb ratunkowych i **postępuj zgodnie z ich instrukcjami**.

Zadbaj o swoje **bezpieczeństwo**:

- odetnij wodę, elektryczność i gaz,
- opuść jak najszybciej uszkodzony budynek, jeśli się w takim znajdujesz,
- nie wchodź do zniszczonych budynków,
- skorzystaj ze schodów zamiast windy,
- nie dotykaj przewodów elektrycznych,
- zachowaj bezpieczną odległość od wszystkiego, co może się zawalić,
- załóż obuwie, aby ochronić się przed potłuczonymi przedmiotami.

W przypadku uwięzienia (np. w budynku) wyślij wiadomość, uderzaj w rurę lub ścianę, a jeśli możesz użyj gwizdka zamiast krzycheć. Takie postępowanie pomoże Cię zlokalizować i jak najszybciej udzielić potrzebnej pomocy.

Zapamiętaj! Jeśli znajdujesz się na wybrzeżu i jest to region, gdzie występują fale tsunami, po ustaniu wstrząsów udaj się w głąb lądu lub na wyższy teren. Nie podchodź do linii brzegowej! Warto być również świadomym, że mogą nastąpić kolejne wstrząsy.

LISTA ZAŁĄCZNIKÓW

Załącznik 1 – Lokalizacja wstrząsów sejsmicznych zarejestrowanych w sieci PSG_Sejs_NET na obszarze Polski w okresie od 01/05/2026 r. do 31/05/2026 r. – na mapie prezentowane są wstrząsy z bieżącego miesiąca.

Załącznik 2 – Lokalizacja wstrząsów sejsmicznych zarejestrowanych w sieci PSG_Sejs_NET na obszarze Polski w okresie od 01/01/2025 r. do 31/05/2026 r. – na mapie prezentowane są wstrząsy od początku trwania V etapu projektu Monitoring Geodynamiczny Polski (MGP-V) tj. od dnia 01/01/2025 r.

Załącznik 3 – Lokalizacja wstrząsów sejsmicznych zarejestrowanych w bazie EMSC na obszarze Europy i obszarach przyległych (w granicach mapy podstawowej) w okresie od 01/05/2026 r. do 31/05/2026 r.

Załącznik 4 – Lokalizacja wstrząsów sejsmicznych zarejestrowanych w bazie EMSC na obszarze świata w okresie od 01/05/2026 r. do 31/05/2026 r.